

# $\text{LaF}_3\text{-XF}$ (X = Li, K)熔盐的 X-射线衍射分析<sup>①</sup>

崔明姬 杨忠保 郭春泰 李洁 唐定骧

(中国科学院长春应用化学研究所)

## 摘要

利用1 083K时的X-射线衍射数据, 导出了 $\text{LaF}_3\text{-4LiF}$ 和 $\text{LaF}_3\text{-4KF}$ 系熔盐溶液的径向分布函数; 获得了熔盐的离子间距数据, 其中 $\text{LaF}_3\text{-4LiF}$ 熔盐系中 $\text{La}^{3+}\text{-F}^-$ 的相互作用距离为0.238 nm,  $\text{LaF}_3\text{-4KF}$ 系中的为0.233 nm。还就熔盐离子间距结果讨论了温度与 $\text{La}^{3+}$ 的库伦力的问题。

**关键词:**  $\text{LaF}_3\text{-LiF(KF)}$  熔盐 衍射分析

熔盐的短程有序和长程无序结构, 比有序晶体和无序气体还难于描述, 其分布函数理论并非基于物理模型, 而是基于统计理论和相互作用势的, 被认为是一种理想的理论; 但是由于所涉及的数学及(或)计算问题, 现阶段很难付诸实用, 因此, 只能通过衍射技术由实验来获得熔盐的径向分布函数<sup>[1~3]</sup>。近年内, 还用MD和MC法研究熔盐<sup>[4]</sup>。

这篇短文, 主要致力于利用 $\text{LaF}_3\text{-4LiF}$ 和 $\text{LaF}_3\text{-4KF}$ 熔盐溶液的X-射线衍射数据去推导熔盐的径向分布函数和获得离子间距的数据, 并讨论与熔盐结构有关的某些问题。

## 1 实验

将干燥的 $\text{LaF}_3$ 和XF(X代表Li、K分析纯试剂), 按照1:4的摩尔比混合, 经400℃减压脱水数小时后, 再熔化, 冷却、磨碎和储存待用。

在具有 $\theta\text{-}\theta$ 测角仪的X-射线衍射仪(Mo

靶,  $\lambda=0.07107\text{ nm}$ )上测量散射强度, 其衍射束通过一弯曲的石墨晶体单色器。在衍射角 $=1\text{~}60(\text{ }^\circ)$ 范围内收集强度数据, 在表1所示各种角度范围内, 使用了几种不同的狭缝系统、角度间隔或计数时间。实验时温度控制在 $1083\pm5\text{ K}$ 范围内, 衍射仪管压为50 kV, 电流20 mA。

表1 实验条件

$2\theta/(\text{ }^\circ)$	DS/( $\text{ }^\circ$ )	SS/( $\text{ }^\circ$ )	RS/mm	步长/( $\text{ }^\circ$ )	计时/s
2~9.2	1/2	1/2	0.15	0.2	60
8~16.1	1/2	1/2	0.15	0.1	40
15.6~26.1	1/2	1/2	0.15	0.1	20
25.2~41.2	1	1	0.15	0.2	15
38.6~120.6	2	2	0.30	0.6	10

## 2 数据分析

采用常规方法, 对测得的散射强度进行背景、极化、吸收和Compton散射修正<sup>[3]</sup>。用径向分布函数法计算标准化因子。散射干涉函数 $I(s)$ , 相关函数 $g(r)$ 及径向分布函

①本课题属稀土化学与物理开放实验室基金资助项目; 本文(英文稿)于1992年3月15日收到

$\text{RDF}(r)$ 则由下式给出:

$$I(s) = 1 + \frac{I_a(s) - \bar{f}^2 - I_{\text{comp}}(s)}{\bar{f}^2}$$

$$g(r) = 1 + \frac{1}{2\pi^2 r \rho_a} \int_0^{s_{\max}} S[I(s) - 1] \times e^{-r^2 s^2} \sin(sr) ds$$

$$\text{RDF}(r) = 4\pi r^2 P_a + \frac{2}{\pi} \int_0^{\infty} S[I(s) - 1] \times e^{-r^2 s^2} \sin(sr) ds,$$

$\theta$ —散射角;

$S = 4\pi \sin\theta/\lambda$ ;

$f$ —原子散射系数;

$e^{-r^2 s^2}$ —收敛系数;

$\rho_a$ —平均原子数密度;

$I_a(s)$ —一个原子的平均总散射强度  
(电子单位);

$I_{\text{comp}}(s)$ —平均的 compton 散射强度

### 3 结果与讨论

由 X-射线衍射获得的相关函数  $g(r)$  与径向分布函数  $\text{RDF}(r)$ , 分别示于图 1 和 2。由图可见, 熔盐  $\text{LaF}_3\text{-}4\text{LiF}$  的  $g(r)$  曲线, 在  $r = 0.191$  和  $0.238$  nm 处出现尖峰, 在  $r = 0.291$  nm 处出现突肩。根据表 2 所列的各参数值, 可以认为  $r = 0.191$  和  $0.238$  nm 处的尖峰, 分别为  $\text{Li}^+-\text{F}^-$  和  $\text{La}^{3+}-\text{F}^-$  离子对的最近邻距离; 而  $r = 0.291$  nm 处的突肩似乎是由

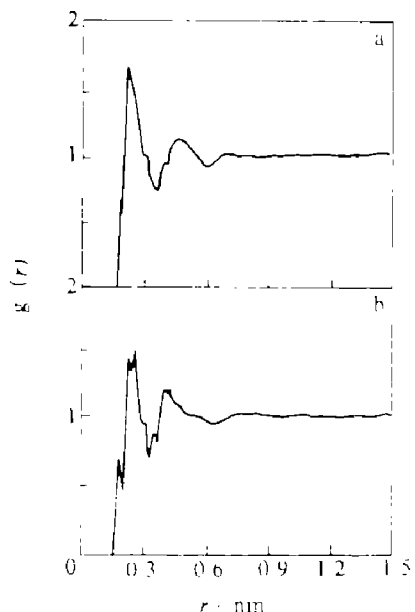


图 1  $\text{LaF}_3\text{-}4\text{XF}$ (a:  $X = \text{Li}$ , b:  $X = \text{K}$ )熔盐的相关函数

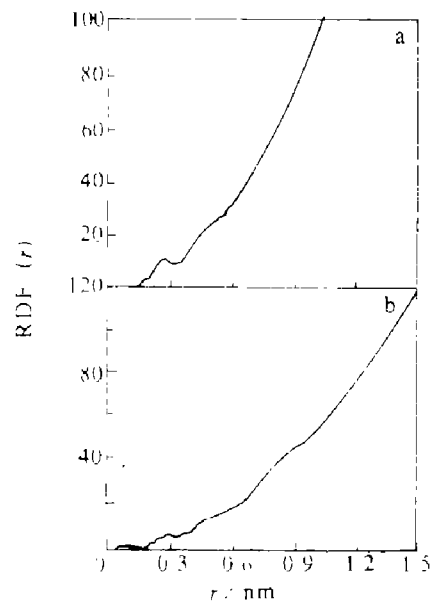


图 2  $\text{LaF}_3\text{-}4\text{XF}$ (a:  $X = \text{Li}$ , b:  $X = \text{K}$ )熔盐的径向分布函数

表 2 有关晶体和熔盐的数据以及本文的结果

(nm)

离子偶	$\text{La}^{3+}-\text{F}^-$	$\text{Li}^+-\text{F}^-$	$\text{K}^+-\text{F}^-$	$\text{K}^+-\text{K}^+$	$\text{F}^--\text{F}^-$	文献来源
晶体	$\text{LaF}_3$	0.242			0.287	[1]
	$\text{LiF}$		0.210		0.297	[1]
	$\text{KF}$			0.280	0.395	[2]
熔盐	$\text{LiF}$		0.195		0.260	[1]
	$\text{KF}$			0.270	~0.386	[1]
	$\text{LiF-KF}$	0.184	0.270	0.357	0.265	[2]
	$\text{LaF}_3\text{-}4\text{LiF}$	0.238	0.191		0.291	本文
	$\text{LaF}_3\text{-}4\text{KF}$	0.233		0.265	0.351	本文

$F^- - F^-$  离子对相互作用引起的。同样  $LaF_3 - 4KF$  的  $g(r)$  曲线还表明，在  $r = 0.233$ 、 $0.265$ 、 $0.290$  和  $0.351\text{nm}$  处的小峰，分别属于  $La^{3+} - F^-$ 、 $K^+ - F^-$ 、 $F^- - F^-$  和  $K^+ - K^+$  离子对相互作用的产物。

由表 2 可见，熔盐中相异离子对的距离小于晶体中相应离子对的距离，这与熔盐的一般性质，即熔盐的配位数减少导致离子间距减少非常一致。比较单一熔盐与混合熔盐，不难发现，混合熔盐中相异离子对的距离与单一熔盐中的接近，而相同离子对的距离则比在单一熔盐中的小。 $LaF_3 - 4XF$ ( $X = Li, K$ ) 中  $F^- - F^-$  离子对间距甚至小于其在  $LiF - KF$  中的间距。

从结果分析，应当考虑温度的影响。由于低共熔作用，混合熔盐的实验温度远低于单一

熔盐的熔点温度，低温下熔体摩尔体积收缩引起相同离子间距减小；另一方面， $F^-$  离子却由于  $La^{3+}$  强库伦力的作用而趋向于相互连结。

(亚欣译)

#### 参考文献

- 1 Zarzycki G J physics Radium, 1958, 19: 13A; 1957, 18: 65A.
- 2 Igarashi et al. The chemical society of Japan, 1985, 10: 1821.
- 3 Cui Mingji et al. Chinese Science Bulletin, 1991, 36(22): 1878.
- 4 Larsen B and Forland T, Mol. Phys., 1973, 26: 1521.
- 5 Furukawa K. Discuse. Faraday Soc., 1961, 32: 53.